УДК 536.2.023; 532.591

УДАРНОЕ СЖАТИЕ МОЛИБДЕНА ПРИ ВОЗДЕЙСТВИИ УЛЬТРАКОРОТКИМИ ЛАЗЕРНЫМИ ИМПУЛЬСАМИ

© 2023 г. С. И. Ашитков¹, Е. В. Струлева^{1, *}, П. С. Комаров¹, С. А. Евлашин²

¹ФГБУН Объединенный институт высоких температур РАН (ОИВТ РАН), Москва, Россия ²Сколковский институт науки и технологий, Москва, Россия

*E-mail: struleva.evgenia@yandex.ru

Поступило в редакцию 20.06.2023 г. После доработки 20.06.2023 г.

Принято к публикации 03.10.2023 г.

В эксперименте исследовано поведение молибдена под действием импульсов нагрузки пикосекундной длительности. Методом спектральной интерферометрии в режиме однократного воздействия в пикосекундном диапазоне регистрировалось изменение фазы и амплитуды диагностического импульса, отраженного от свободной поверхности образца. В пленочном образце молибдена субмикронной толщины реализованы напряжения сжатия, достигающие 89 ГПа и сопровождающиеся существенным ростом коэффициента отражения поверхности.

DOI: 10.31857/S0040364423050010

ВВЕДЕНИЕ

Эксперименты со сжатием вещества в сильных ударных волнах (УВ) первоначально проводились для получения сведений об уравнениях состояния активных и конструкционных материалов в мегабарном (миллионы атмосфер) диапазоне давлений, а в уникальных экспериментах с использованием ядерных взрывов – до ста миллионов атмосфер [1]. В настоящее время существует широкая область задач, в которых применяется техника ударно-волнового нагружения, характеризующаяся не только широким диапазоном достижимых давлений и температур, но и чрезвычайно высокими скоростями их изменения. Структура и эволюция УВ связаны с процессами упругопластического деформирования, физико-химических превращений и разрушения в материале, которые сопровождаются изменениями сжимаемости материала и, соответственно, приводят к образованию характерных особенностей на профилях волн сжатия и разрежения. Разработаны современные методы генерации УВ, регистрации волновых профилей с высоким пространственным и временным разрешением, а также интерпретации ударно-волновых явлений в конденсированных средах, позволившие получить сведения об упругопластических и прочностных свойствах различных материалов [1-9].

Молибден является тугоплавким, высокопрочным конструкционным материалом, широко применяемым в промышленности. Исследование температурно-прочностных свойств молибдена в субмикросекундном диапазоне проводилось в ряде работ [10—14]. Значительный экспериментальный

и теоретический интерес связан с развитием лазерных технологий селективной обработки слоев солнечных элементов [15], в том числе состоящих из молибдена [16].

Целью данной работы является исследование поведения молибдена при высоком давлении в условиях ударной нагрузки пикосекундной длительности.

ЭКСПЕРИМЕНТ

Для проведения экспериментальных исследований смещения свободной поверхности $z_{fs}(t)$ пленочных образцов использовалась ритр-ргоbе-методика спектральной интерферометрии. В качестве источника излучения применялась фемтосекундная титан-сапфировая система, реализованная по принципу усиления чирпированных импульсов. Длина волны излучения — 800 нм, длительность чирпированного импульса — 300 пс, энергия в импульсе — до 2 мДж. В качестве экспериментального образца использовалась пленка молибдена толщиной 740 \pm 10 нм, нанесенная на стеклянную подложку методом магнетронного напыления.

В эксперименте нагревающее лазерное излучение фокусировалось на мишень со стороны стеклянной подложки, наблюдение зондирующим импульсом проходило со стороны тыльной поверхности. Нагревающее излучение фокусировалось в эллиптичное пятно с гауссовым распределением интенсивности и параметрами $r_{0x} = 42$ мкм, $r_{0y} = 36$ мкм по уровню e^{-1} . Энергия достигала 300 мкДж, а интенсивность -2×10^{12} Вт/см².

Для диагностики использовалась другая часть чирпированного импульса длительностью 300 пс и шириной спектра 40 нм на центральной длине волны 800 нм. Диагностической схемой являлся интерферометр Майкельсона, совмещенный с дифракционным спектрометром. Временное разрешение схемы измерений равно 1 пс. Пространственное разрешение в плоскости мишени составляло 3 мкм [17]. Более подробно экспериментальная схема и методики обработки интерферограмм представлены в работах [17—19].

РЕЗУЛЬТАТЫ И ИХ ОБСУЖДЕНИЕ

На рис. 1а приведены график изменения фазы диагностического импульса при выходе УВ на тыльную свободную поверхность образца молибдена и профиль скорости $u_{fs}(t)$, полученный путем дифференцирования зависимости смещения z(t). На рис. 16 профиль скорости $u_{fs}(t)$ соотносится с графиком изменения коэффициента отражения образца R/R_0 ($R_0=0.67$ — начальный коэффициент отражения Мо на длине волны 800 нм

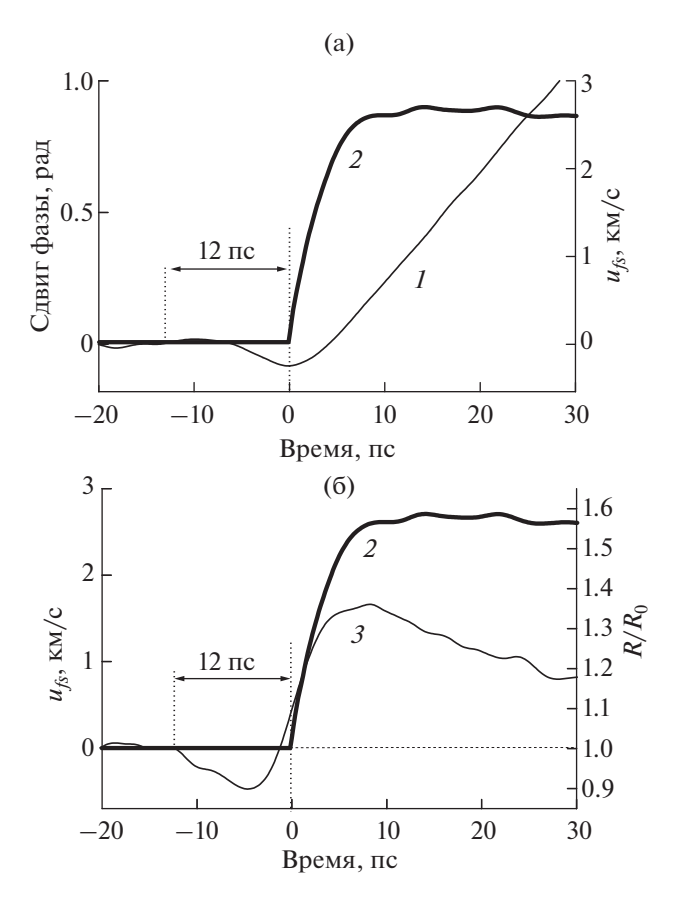


Рис. 1. Временные профили (а) смещения (1) и скорости движения свободной поверхности (2); (б) — изменения коэффициента отражения (3) образца молибдена субмикронной толщины при $F = 2 \, \text{Дж/см}^2$.

[20]). Профили построены для центральной части области взаимодействия при плотности энергии лазерного импульса F=2 Дж/см². Начальный момент времени t=0 на графиках соответствует началу движения границы при выходе УВ.

Измеренное максимальное значение скорости свободной поверхности за фронтом УВ составило $u_{fs}=2.6$ км/с. Согласно известной ударной адиабате молибдена $U_S=5.14+1.22u_p$ (здесь $u_p=u_{fs}/2$) [10], скорость ударной волны в данном случае составляет $U_S=6.7$ км/с. С использованием уравнений Рэнкина—Гюгонио по известным значениям скорости U_S и u_p можно рассчитать значения давления за фронтом УВ по соотношению $p=\rho_0 U_S u_p=89$ ГПа, где плотность молибдена $\rho_0=10.2$ г/см³. Соответствующее изменение удельного объема, согласно приведенной на рис. 2 p-V-диаграмме, при этом равно $V/V_0=0.81$.

Примерно за 12 пс до выхода УВ в эксперименте регистрировались изменения амплитуды и фазы диагностического импульса (рис. 1), которые не могут быть связаны только с изменением оптических констант скин-слоя за фронтом УВ. Действительно, толщина скин-слоя $l=\lambda/(4\pi k_0)=17$ нм (здесь $k_0=3.6$ [20]), время прохождения УВ скинслоя равно $t^*=l/U_S\approx 2-3$ пс. При этом наблюдаемый "отрицательный" сдвиг фазы и уменьшение коэффициента отражения примерно на 10%, скорее всего, связаны с тепловым предвестником [21], обгоняющим фронт УВ вследствие высокой теплопроводности металла.

Кроме того, выход УВ сопровождается ростом коэффициента отражения примерно на 35% $R/R_0=1.35$, который, очевидно, связан с оцененным увеличением плотности молибдена при сжатии на 19%.

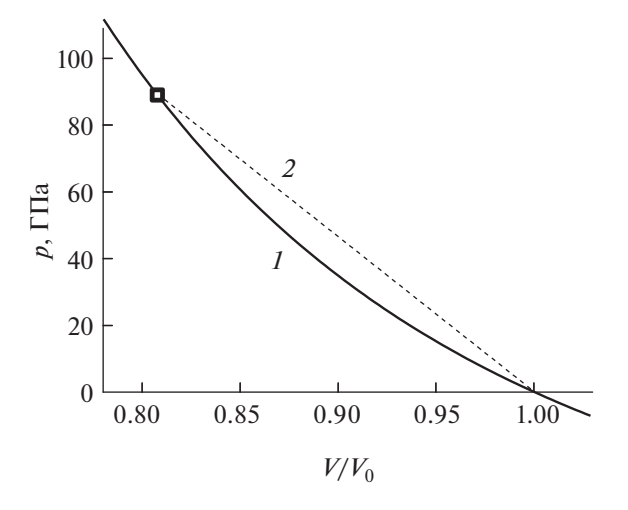


Рис. 2. p–V-диаграмма молибдена: 1 – ударная адиабата, 2 – линия Рэлея.

ЗАКЛЮЧЕНИЕ

Интерферометрическим методом непрерывной диагностики с пикосекундным разрешением исследована динамика движения свободной (тыльной) поверхности молибдена при выходе упругой ударной волны, генерируемой лазерными импульсами длительностью 20 пс. Зарегистрированное экспериментально максимальное значение напряжения сжатия молибдена при пиковой скорости $u_{fs} = 2.6 \text{ км/c}$ составляет 89 ГПа и сопровождается увеличением коэффициента отражения поверхности при выходе УВ на 35%. Результаты исследований представляют интерес для уточнения уравнений состояния, создания оптических моделей металлов, молекулярно-динамического моделирования сжатия молибдена в пикосекундном диапазоне длительности нагрузки, развития лазерных технологий обработки материалов.

Работа выполнена при финансовой поддержке Российского научного фонда (грант № 19_19_00697-П) на оборудовании ЦКП "Лазерный фемтосекундный комплекс" ОИВТ РАН.

СПИСОК ЛИТЕРАТУРЫ

- 1. *Канель Г.И.*, *Фортов В.Е.*, *Разоренов С.В.* Ударные волны в физике конденсированного состояния // УФН. 2007. Т. 177. № 8. С. 809.
- 2. Whitley V.H., McGrane S.D., Eakins D.E. et al. The Elastic—Plastic Response of Aluminum Films to Ultrafast Laser-generated Shocks // J. Appl. Phys. 2011. V. 109. № 1. P. 013505.
- 3. Demaske B.J., Zhakhovsky V.V., Inogamov N.A., Oleynik I.I. Ultrashort Shock Waves in Nickel Induced by Femtosecond Laser Pulses // Phys. Rev. B. 2013. V. 87. № 5. P. 054109.
- 4. Crowhurst J.C., Armstrong M.R., Knight K.B. et al. Invariance of the Dissipative Action at Ultrahigh Strain Rates above the Strong Shock Threshold // Phys. Rev. Lett. 2011. V. 107. P. 144302.
- 5. Ашитков С.И., Комаров П.С., Агранат М.Б. и др. Реализация предельных значений объемной и сдвиговой прочности железа при воздействии фемтосекундными лазерными импульсами // Письма ЖЭТФ. 2013. Т. 98. № 7—8. С. 439.
- 6. Crowhurst J.C., Reed B.W., Armstrong M.R. et al. The $\alpha \to \varepsilon$ Phase Transition in Iron at Strain Rates up to $\sim 10^9 \, \text{s}^{-1} // \, \text{J}$. Appl. Phys. 2014. V. 115. No 11. P. 113506.
- 7. *Струлёва Е.В., Комаров П.С., Ашитков С.И.* Откольная прочность титана при высокоскоростном растяжении // ТВТ. 2020. Т. 58. № 5. С. 823.
- 8. Струлева Е.В., Комаров П.С., Евлашин С.А., Ашитков С.И. Поведение магниевого сплава при высо-

- коскоростной деформации под действием ударноволновой нагрузки // ТВТ. 2022. Т. 60. № 5. С. 793.
- 9. Ashitkov S., Komarov P., Romashevskiy S., Struleva E., Evlashin S. Shock Compression of Magnesium Alloy by Ultrashort Loads Driven by Sub-picosecond Laser Pulses // J. Appl. Phys. 2022. V. 132. № 17. P. 175104.
- 10. *Hixson R.S., Fritz J.N.* Shock Compression of Tungsten and Molybdenum // J. Appl. Phys. 1992. V. 71. № 4. P. 1721.
- Duffy T.S., Ahrens T.J. Dynamic Response of Molybdenum Shock Compressed at 1400°C // J. Appl. Phys. 1994. V. 76. № 2. P. 835.
- 12. Furnish M.D., Chhabildas L.C. The Minerals, Metals, and Materials Society, High Strain Rate Behavior of Refractory Metals and Alloys / Eds. Asfahani R. et al. Warrendale: Acad. Press, 1992. P. 229.
- 13. Chhabildas L.C., Barker L.M., Asay J.R., Trucano T.G. Relationship of Fragment Size to Normalized Spall Strength for Materials // Int. J. Impact Eng. 1990. V. 10. № 1–4. P. 107.
- 14. Senchenko V.N., Belikov R.S., Popov V.S. Experimental Investigation of Thermophysical Properties of Eutectic Mo–C, Graphite, and Tantalum at High Temperatures // J. Phys.: Conf. Ser. 2016. V. 774. 012020.
- 15. Heise G., Domke M., Konrad J., Sarrach S., Sotrop J., Huber H.P. Laser Lift-off Initiated by Direct Induced Ablation of Different Metal Thin Films with Ultrashort Laser Pulses // J. Phys. D: Appl. Phys. 2012. V. 45. № 31. P. 315303.
- Chang T.-L., Chen C.-Yu, Wang C.-P. Precise Ultrafast Laser Micromachining in Thin-film CIGS Photovoltaic Modules // Microelectron. Eng. 2013. V. 110. P. 381.
- 17. Струлева Е.В., Комаров П.С., Ашитков С.И. Интерферометрическая диагностика нанодеформаций поверхности мишени в пикосекундном диапазоне при импульсном лазерном воздействии // Вестник Объединенного института высоких температур. 2018. Т. 1. № 1. С. 130.
- 18. Geindre J.P., Audebert P., Rebibo S., Gauthier J.C. Single-shot Spectral Interferometry with Chirped Pulses // Opt. Lett. 2001. V. 26. № 20. P. 1612.
- 19. *Temnov V.V., Sokolovski-Tinten K., Zhou P., von der Linde D.* Ultrafast Imaging Interferometry at Femtosecond Laser-excited Surfaces // J. Opt. Soc. Am. B. 2006. V. 23. № 9. P. 1954.
- Querry M.R. Optical Constants of Minerals and Other Materials from the Millimeter to the Ultraviolet. Chemical Research, Development & Engineering Center, US Army Armament, Munitions, Chemical Command. Kansas City, 1987.
- 21. Batani D., Koenig M., Benuzzi A., Krasyuk I.K., Pashinin P.P., Semenov A.Yu., Lomonosov I.V., Fortov V.E. Problems in the Optical Measurement of Dense Plasma Heating in Laser Shock Wave Compression // Plasma Phys. Control. Fusion. 1999. V. 41. P. 93.